文章编号:1003-2754(2022)02-0100-04

doi:10.19845/j. cnki. zfysjjbzz. 2022.0023

# NIM811 对 $Na_2 S_2 O_4$ 引起小鼠 HT22 细胞 缺氧/复氧损伤的保护作用的研究

王 丹<sup>1,2</sup>、 赵承军<sup>3</sup>, 陈桂生<sup>2,4</sup>

摘 要: 目的 探讨环孢菌素衍生物 NIM811 对连二亚硫酸钠  $(Na_2S_2O_4)$  引起的小鼠海马神经元细胞 (HT22) 的缺氧/复氧损伤的保护作用及其机制。方法 以小鼠 HT22 培养细胞制备缺氧/复氧细胞模型,实验分组 为正常对照组、 $Na_2S_2O_4$  组、 $Na_2S_2O_4$  + NIM811 组、NIM811 组。CCK-8 检测细胞生存率、流式细胞术检测细胞凋亡、 JC-1 试剂检测线粒体膜电位、用钙离子指示剂 Rhod-2 AM 观察线粒体内钙离子水平、DCFH-DA 法检测细胞活性氧 (ROS) 水平。结果 与  $Na_2S_2O_4$  组比较,给予 NIM811 处理后:(1) 细胞活性增高 38% (P<0.01);(2) 细胞凋亡减少 27% (P<0.01);(3) 线粒体膜电位上升 (P<0.01);(4) 线粒体内钙离子水平下降 (P<0.01);(5) 活性氧 (ROS) 水平降低 (P<0.01)。结论 (P>0.01),对 (P>0.01),对

关键词: NIM811; 缺氧/复氧; 活性氧; 线粒体动力学; 细胞凋亡

中图分类号: R743 文献标识码: A

Protective effect of NIM811 on hypoxia/reoxygenation injury of hippocampal neurons in mice WANG Dan, ZHAO Chengjun, CHEN Guisheng. (Clinical College of Ning Xia Medical University, Yinchuan 750004, China)

Abstract: Objective To investigate the protective effect and mechanism of the derivative NIM811 on hypoxia/reoxygenation injury of rat hippocampal neuron (HT22) induced by sodium disulfite (Na<sub>2</sub>S<sub>2</sub>O<sub>4</sub>). Methods The hypoxia/reoxygenation cell model was prepared with mouse HT22 cultured cells. The experiment was divided into normal control group, Na<sub>2</sub>S<sub>2</sub>O<sub>4</sub> group, Na<sub>2</sub>S<sub>2</sub>O<sub>4</sub> + NIM811 group, and NIM811 group. Cell survival rate was detected by CCK-8, flow cytometry was used to detect apoptosis, mitochondrial membrane potential was detected by JC-1 reagent, calcium ion level in mitochondria was observed by Rhod-2 AM, and reactive oxygen species (ROS) was detected by DCFH-DA method. Results Compared with the Na<sub>2</sub>S<sub>2</sub>O<sub>4</sub> group, after NIM811 treatment; (1) Cell activity increased by 38% (P < 0.01); (2) Apoptosis decreased by 27% (P < 0.01); (3) Mitochondrial membrane potential increased (P < 0.01); (4) The level of calcium ions in the mitochondria decreased (P < 0.01); (5) The level of reactive oxygen species (ROS) decreased (P < 0.01). Conclusion NIM811 has a protective effect on the hypoxia/reoxygenation injury of mouse hippocampal neurons caused by Na<sub>2</sub>S<sub>2</sub>O<sub>4</sub>. The mechanism may be related to the maintenance of mitochondrial homeostasis and inhibition of cell apoptosis. NIM811 has therapeutic potential for future clinical treatment of ischemic stroke.

**Key words:** NIM811; Anoxia/reoxygenation; Reactive oxygen species; Mitochondrial membrane potential; Calcium overload

脑缺血/再灌注损伤是缺血性脑卒中的重要的级联反应过程,多种机制作用下最终导致神经元等多种脑细胞凋亡、死亡<sup>[1]</sup>,它对脑组织的损伤比缺血本身造成的损害更严重<sup>[2,3]</sup>。迄今为止,对于脑缺血/再灌注损伤仍无有效的治疗手段<sup>[4]</sup>。甲基-4-异亮氨酸环孢菌素(NIM811)是一种新型非免疫抑制性环孢菌素衍生物,它是环孢素 A 的同类结构药物。前期实验表明 NIM811 具有降低谷氨酸诱导的神经损伤的治疗潜力<sup>[5]</sup>,但其在脑缺血再灌注中的研究未见报道。氧剥夺/复氧模型是一种常用的模拟体内脑缺血再灌注损伤的经典方法<sup>[6]</sup>,因此,我们建立体外 Na<sub>2</sub>S<sub>2</sub>O<sub>4</sub> 引起小鼠 H22 神经元氧剥夺/复氧模型<sup>[7]</sup>,探讨 NIM811是否对 Na<sub>2</sub>S<sub>2</sub>O<sub>4</sub> 引起小鼠 H22 神经元缺氧/复氧的神

经元具有保护作用,为研究治疗缺血性脑卒中和脑缺 血再灌注损伤提供实验室依据。

#### 1 材料与方法

1.1 试剂与仪器 HT22 小鼠海马神经元细胞由宁夏颅脑疾病重点实验室提供,二氧化碳培养箱

收稿日期:2021-10-09;修订日期:2021-11-30

基金项目:国家自然科学基金(81560209)

作者单位:(1.宁夏医科大学临床学院,宁夏 银川 750004;2.宁夏颅脑疾病重点实验室,宁夏 银川 750004;3.宁夏医科大学医学科学技术研究中心,宁夏 银川 750004;4.宁夏医科大学总医院神经内科,宁夏 银川 750004)

通讯作者: 陈桂生, E-mail: chenguisheng1967@163.com; 赵承军, E-mail: 245542578@qq.com

[HF240,力新仪器(上海)有限公司];全波长酶标仪(PowerWave XS2,美国 Bio-tek 公司);倒置相差显微镜(07 中地;CKX41,奥林巴斯);倒置荧光显微镜及图像采集(Ti-S,日本 Nikon);流式细胞仪(AccuriTM C6 Flow Cytometry,美国 BD 公司);胎牛血清(BI,舜冉上海生物科技有限公司);CCK-8 检测试剂盒(日本同仁,北京智杰方远科技有限公司);Na<sub>2</sub>S<sub>2</sub>O<sub>4</sub> 粉(纯品,无锡市亚泰联合化工有限司);NIM811(HY-P0025,MCE);Annexin V-FITC/PI 双染细胞凋亡检测试剂盒(KGA107,江苏凯基生物技术有限公司);活性氧(ROS)检测试剂盒(S0033,上海碧云天生物技术研究所);线粒体膜电位检测试剂盒 JC-1 (C2006,上海碧云天生物技术研究所);Rhod-2 AM 钙离子荧光试剂(ab142780,abcam)。

- 1.2 NIM811 溶液的配置 将 5 mg NIM811 溶解于 4.1576 ml DMSO 中,配成 1 mmol/L 母液。再将 1 mmol/L NIM811 母液用 DMEM 培养基稀释成 600 nmol/L的工作液,分装后冷冻于 -20 ℃冰箱中。
- 1.3 细胞分组 将 HT22 细胞培养于含有 10% 胎牛血清、1% 青链霉素的 DMEM 完全培养基中,置于 37 ℃,5% CO<sub>2</sub> 培养箱中培养,每 2 ~ 3 d 传代一次。细胞 分组: 正常 对照组、Na<sub>2</sub>S<sub>2</sub>O<sub>4</sub> 组、Na<sub>2</sub>S<sub>2</sub>O<sub>4</sub> + NIM811 组、IM811 组,正常对照组给予换液处理;Na<sub>2</sub>S<sub>2</sub>O<sub>4</sub> 组给予含 2 mmol/L Na<sub>2</sub>S<sub>2</sub>O<sub>4</sub> 的 DMEM 培养基进行缺氧 1 h,然后更换为 DMEM 完全培养基继续培养 24 h 进行复氧;Na<sub>2</sub>S<sub>2</sub>O<sub>4</sub> + NIM811 组提前给予600 nmol/L NIM811 预处理 2 h,然后换为含有 2 mmol/L Na<sub>2</sub>S<sub>2</sub>O<sub>4</sub> 和 600 nmol/L NIM811 的 DMEM 培养基进行缺氧 1 h 后,最后给予含有 600 nmol/L NIM81 的 DMEM 完全培养基进行复氧24 h;NIM811 组在培养 24 h 后,给予含有 600 nmol/L NIM811 的 DMEM 完全培养基继续培养 24 h。
- 1.4 细胞活性检测 按前面分组,以 5×10³/ 孔的细胞密度接种 96 孔板,每组设 6 个复孔。在细胞培养 24 h后,空白对照组给予换液处理,各实验组按 1.3 述方法进行处理。在实验结束前 3 h,每孔加入 10 μl CCK-8 试剂,置于培养箱中培养 3 h,用多功能酶标仪检测 OD 值计算细胞存活率。
- 1.5 细胞凋亡的检测 按前面分组以 1.5 × 10<sup>5</sup>/ml 的细胞密度接种到 6 孔板,每组设 3 个复孔,每孔 2.5 ml DMEM 完全培养液,按照 1.3 的方法处理细胞后用胰酶消化、离心并收集细胞。进行 V-FITC/PI 染色,室温下避光孵育 15 min 后,置于冰浴,于 1 h 内在流式细胞仪上检测。
- 1.6 线粒体膜电位的检测 按前面分组以  $1 \times 10^5$ /ml 的细胞密度接种到 6 孔板,每组设 3 个复孔,每 孔 2.5 ml DMEM 完全培养液,按照 1.3 的方法处理细

- 胞后用胰酶消化、离心并收集细胞。按照说明书进行 JC-1 染色,最后加入1 ml JC-1 染色缓冲液(1×)重悬细胞,置于冰浴,于1 h 内在流式细胞仪上检测。
- 1.7 细胞内活性氧(ROS)检测 按前面分组以2×10<sup>5</sup>/ml细胞密度接种在6孔板中,每组设3个复孔,每孔2.5 ml DMEM 完全培养基,混匀,转移到37℃培养箱中,按照1.3处理各组细胞。待实验结束后,按 DCFH-DA 说明书进行染色,孵育结束后,置于倒置荧光显微镜下观察并拍照。
- 1.8 线粒体内钙离子浓度的检测(Rhod-2)以2×10<sup>5</sup>/ml细胞密度接种在6孔板中,每组设3个复孔,每孔2.5ml DMEM 完全培养基,混匀,转移到37℃培养箱中,按照1.3处理各组细胞。待实验结束后,按照说明书进行 Rhod-2 AM 染色,孵育结束后,置于荧光倒置显微镜下观察并拍照。
- 1.9 统计学分析 采用 SPSS 进行统计学处理。数据用均数  $\pm$  标准差 $(x \pm s)$  表示, 计量资料组间比较采用单因素方差分析, 组内两两比较用 LSD 检验, 以 P < 0.05 为差异有统计学意义。

## 2 结 果

- 2.1 NIM811 对  $Na_2S_2O_4$  引起的 HT22 细胞缺氧/复氧损伤后细胞活性的影响  $Na_2S_2O_4$  组的细胞活性下降约 46% (P<0.01),在给予 NIM811 处理后,细胞活性有明显增高 38% (P<0.01)(见图 1)。
- 2.2 NIM811 对  $Na_2S_2O_4$  引起的 HT22 细胞缺氧/复氧损伤后细胞凋亡率的影响 右上角为中晚期凋亡的细胞,右下角为早期凋亡的细胞,可以通过计算早期和中晚期细胞凋亡的总数来计算细胞凋亡率。在对照组中,仍存在部分细胞凋亡,与对照组相比 2 mmol/LNa<sub>2</sub>S<sub>2</sub>O<sub>4</sub> 组的细胞凋亡率明显增高43% (P<0.01);给予 NIM811 处理细胞后,细胞凋亡率明显减少 27% (P<0.01)(见图 2)。
- 2.3 NIM811 对  $Na_2S_2O_4$  引起的 HT22 细胞缺氧/复氧损伤后线粒体膜电位的影响 JC-1 在正常细胞中,产生红色荧光;在细胞凋亡时,产生绿色荧光。图中右上角代表红色荧光所占百分比,右下角代表绿色荧光所占百分比,计算各组红色荧光/绿色荧光的比值来比较各组膜电位的变化。结果显示,与对照组相比, $Na_2S_2O_4$  组细胞凋亡明显增多,而给予 NIM811 处理后,红色荧光明显增多,凋亡减少,与  $Na_2S_2O_4$  组比较,差异有统计学意义(见图 3)。
- 2.4 NIM811 对  $Na_2S_2O_4$  引起的 HT22 细胞缺氧/复氧损伤后活性氧的影响 利用荧光探针 DCFH-DA 进行活性氧检测。对照组中,有个别细胞荧光增强,说明在正常状态下有部分细胞活性氧水平较高;  $Na_2S_2O_4$  组细胞荧光强度明显增强,说明细胞给予缺氧/复氧损伤后细胞活性氧水平明显增高;  $Na_2S_2O_4$  +

NIM811 组中有个别细胞荧光增强,说明细胞经缺氧/复氧损伤并给予 NIM811 干预后,细胞活性氧水平明显好转,而 NIM811 组细胞荧光不明显;给予 NIM811 处理后,  $Na_2S_2O_4$  + NIM811 组细胞荧光强度较  $Na_2S_2O_4$  组降低(P<0.01),差异有统计学意义,说明 NIM811 可以降低细胞的活性氧水平(见图 4)。

2.5 NIM811 对  $Na_2S_2O_4$  引起的 HT22 细胞缺氧/复氧损伤后钙离子浓度的影响 Rhod-2AM 染色后观察各组细胞的钙离子荧光强度。结果显示,对照组有部分细胞荧光略强,与对照组比较,  $Na_2S_2O_4$  组线粒体钙离子荧光强度增高,说明经  $Na_2S_2O_4$  损伤后,细胞内钙离子水平增高。在给予 NIM811 干预后, $Na_2S_2O_4$  + NIM811 组细胞钙离子荧光强度比  $Na_2S_2O_4$  组低(P<0.01),差异有统计学意义,说明 NIM811 可以降低因  $Na_2S_2O_4$  损伤引起的钙超载水平(见图 5)。

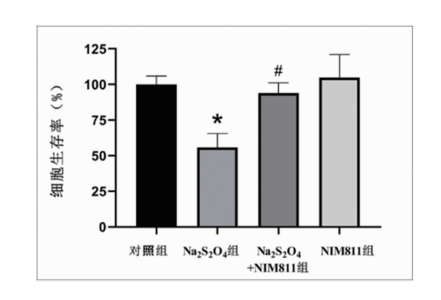


图 1 NIM811 对  $Na_2S_2O_4$  引起的 HT22 细胞损后细胞活性的影响

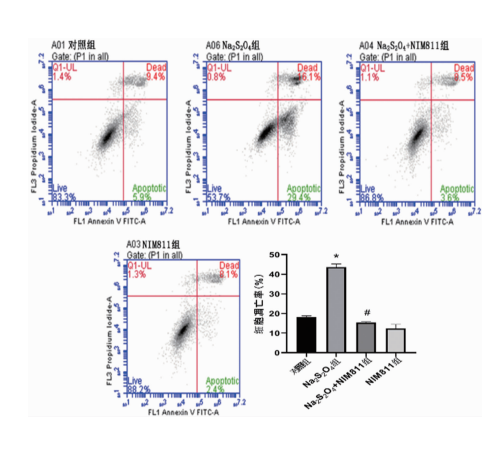


图 2 NIM811 对  $Na_2S_2O_4$  引起的 HT22 细胞凋亡率的影响

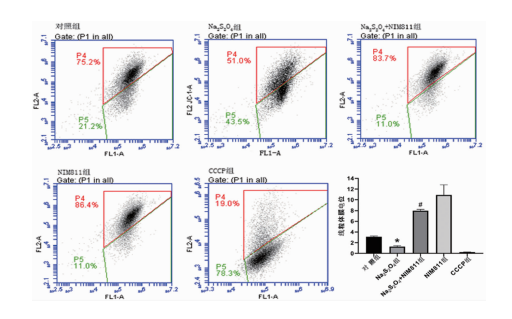


图 3 NIM811 对  $Na_2S_2O_4$  引起的 HT22 细胞损伤后线粒体膜电位的影响

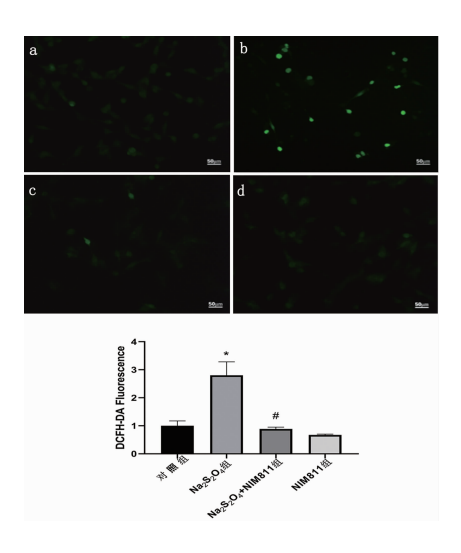


图 4 NIM811 对 Na<sub>2</sub>S<sub>2</sub>O<sub>4</sub> 引起的 HT22 细胞损伤后活性氧的影响

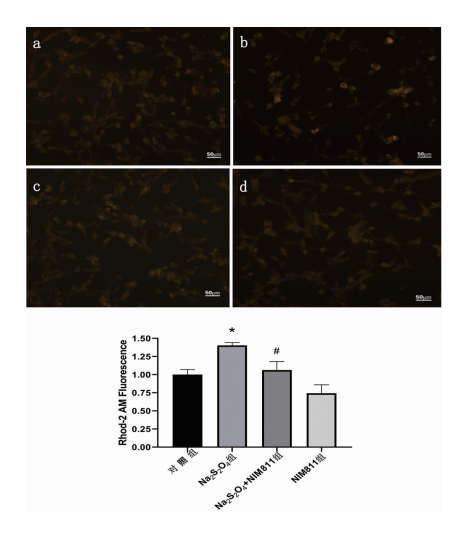


图 5 NIM811 对  $Na_2S_2O_4$  引起的 HT22 细胞损伤后钙离子水平 的影响

### 3 讨论

目前已有研究证实 NIM811 可以减轻脑缺血后神经损伤  $^{[8]}$ 。NIM811 是否可以改善脑缺血再灌注损伤还没有明确定论。本研究发现在给予 NIM811 处理前, $Na_2S_2O_4$  引起的 HT22 细胞缺氧/复氧损伤后细胞活性下降约 46% (P<0.01);给予 NIM811 处理后,细胞活性增高 38% (P<0.01),说明 NIM811 对  $Na_2S_2O_4$  引起的 HT22 细胞缺氧/复氧损伤后细胞活性有保护作用。即 NIM811 不仅可以减轻脑缺血后神经损伤。并且 NIM811 没有环孢素 A 的免疫抑制作用和毒性作用,其优点是能透过血脑屏障  $^{[9]}$ 。

研究表明脑缺血再灌注损伤是一系列因素相互影响的结果,主要与钙离子的负荷、线粒体结构破坏与功能障碍、氧自由基理论、细胞凋亡、炎症等有关<sup>[10-13]</sup>。在脑组织缺血期,以细胞坏死为主要表现形式,而在脑缺血再灌注过程中以细胞凋亡为

主[14~16]。研究表明,线粒体对细胞凋亡的调控发挥 重要的作用[17,18],主要是由于线粒体膜上的线粒体 膜通透转换孔(MPTP)的开放,释放炎性介质及氧 自由基,诱导细胞凋亡的发生。同时,线粒体缺氧后 还会产生过量的活性氧(ROS),并导致钙离子内流, 使得线粒体膜电位去极化[19]。这些事件的发生最 终会进一步诱发细胞凋亡,从而加重脑组织损伤。 目前认为,脑缺血再灌注损伤后,细胞内钙超载可以 破坏线粒体的结构与功能[20,21]。本研究观察到,在 Na<sub>2</sub>S<sub>2</sub>O<sub>4</sub> 引起的 HT22 细胞缺氧/复氧损伤后的细胞 凋亡率明显增高 43% (P < 0.01), 说明在 Na, S, O, 引起的 HT22 细胞缺氧/复氧时存在细胞凋亡的现 象;给予 NIM811 处理细胞后,细胞凋亡率明显减少 27% (P < 0.01), 说明 NIM811 可以改善因 Na, S, O, 引起的 HT22 细胞缺氧/复氧损伤后的细胞凋亡,尤 其是抑制细胞早期凋亡。同时本实验观察在 Na,S,O,引起的 HT22 细胞缺氧/复氧时引起线粒体 膜电位变化,活性氧增多,钙超载现象。给予 NIM811 处理后,观察到 NIM811 减轻了 Na,S,O4 引 起的 HT22 细胞缺氧/复氧损伤后引起线粒体膜电 位超极化,抑制活性氧增多,减少钙超载。证明 NIM811 可以提高 Na,S,O4 引起 HT22 细胞缺氧/复 氧损伤后细胞活性,推测在脑缺血再灌注时, NIM811 可能与线粒体通透性转换孔上的亲环蛋白 D 结合,阻断线粒体通透性转换孔 MTPT 的开放,保 护受损的线粒体,抑制细胞凋亡,从而减轻神经元的 损伤。即对再灌注后神经损伤也有保护作用。

综上所述, NIM811 对于 HT22 细胞缺氧/复氧 损伤后维护线粒体动力学平衡和抑制细胞凋亡有重 要的意义,这对未来研究治疗缺血性脑卒中和脑缺血再灌注损伤的药物时, NIM811 作为一种候选药物提供了实验室依据。

#### 「参考文献〕

- [1] Khoshnam SE, Winlow W, Farzaneh M, et al. Pathogenic mechanisms following ischemic stroke [J]. Neurol Sci, 2017, 38(7):1167-1186.
- [2] Hokari M, Kuroda S, Iwasaki Y. Pretreatment with the cyclosporin derivative NIM811 reduces delayed neuronal death in the hippocampus after transient forebrain ischaemia [J]. J Pharm Pharmacol, 2010, 62 (4).485-490.
- [3] Zheng YQ, Yao MJ, Liu JX, et al. Effect and mechanism of huatuo zaizao extractum on focal cerebral ischemia/reperfusion-induced blood-brain barrier injury in rats[J]. China Journal of Chinese Materia Medica, 2013, 38(4):585.
- [4] Reis C, Wilkinson M, Reis H, et al A look into stem cell therapy: exploring the options for treatment of ischemic stroke[J]. Stem Cells International, 2017, 1-14.
- [5] 亓 琪, 陈桂生. 环孢素 A 对谷氨酸诱导的小鼠海马神经元损伤

- 的保护作用及其机制[J]. 宁夏医科大学学报,2019,41(8):763-766
- [6] Ma Y, Zhao P, Zhu JQ, et al. Naoxintong protects primary neurons from oxygen-glucose deprivation/reoxygenation induced injury through PI3K-Akt signaling pathway[J]. Evidence Based Complementary Alternative Medicine Ecam, 2016, 11:5815946.
- [7]王 丹,田春艳,陈桂生,等. 连二亚硫酸钠 HT22 细胞缺氧复氧模型的制备[J]. 宁夏医科大学学报,2020,42(10):983-985
- [8] Pain T, Yang XM, Critz SD, et al. Opening of mitochondrial (ATP) channel striggers the preconditioned state by generating firee radicals [J]. Circ Res, 2000, 87(6):460-466.
- [9] Li PA, Uchino H, Elmér E, et al. Amelioration by cyclosporin A of brain damage following 5 or 10 min of ischemia in rats subjected to preischemic hyperglycemia [J]. Brain Res, 1997, 753(1):133-140.
- [10] Zhang N, Wang S, LiY, et al. A selective inhibitor of Drp1, mdivi-1, acts against cerebral ischemia/reperfusion injury via an anti-apoptotic pathway in rats[J]. Neurosci Lett, 2013, 535(2):104-109.
- [11] Zhao L, Li S, Wang S, et al. The effect of mitochondrial calcium uniporter on mitochondrial fission in hippocampus cells ischemia/ reperfusion injury [J]. Biochem Biophys Res Commun, 2015, 461 (3):537-542.
- [12] Sirko S, Behrendt G, Johansson PA, et al. Reactive glia in the injured brain acquire stem cell properties in response to sonic hedge-hog[J]. Cell Stem Cell, 2013, 12(4):25 426-439.
- [13] Wesibord SD, Mor MK, Sevick MA, et al. Associations of depressive symptoms and pain with dialysis adherence, health resource utilization, and mortality in patients receiving chronic hemodialysis [J]. Clin J Am Soc Nephrol, 2014, 9(9):1594-1602.
- [14] Adhami F, Liao G, Morozov YM, et al. Cerebral ischemia-hypoxia induces intravascular coagulation and autophagy [J]. The American Journal of Pathology, 2006, 169(2):566-583.
- [15] Gustaf Sson AB, Goieb RA. Bcl-2 family members and apoptosis, taken to heart[J]. Am J Physiol Cen Physiol, 2007, 292(1): C45-51.
- [16] De Pablo Y, Nilsson M, Pekna M, et al. Intermediate filaments are important for astrocyte response to oxidative stress induced by oxygen-glucose deprivation and reperfusion [J]. Histochem Cell Biol, 2013,140(1):81-91.
- [17] Brouns R, Deyn PPD. The complexity of neurobiological lprocesses in acute ischemic stroke[J]. Clin Neurol Neurosur, 2009, 111(6): 483-495.
- [18]张 腾,魏鹤翔,张 永,等. 经线粒体途径相关信号通路对成 骨细胞的影响[J]. 中国骨质疏松杂志, 2020, 26(8): 1226-1230
- [19] Eisner DA, Caldwell, Kistamfis K, et al. Calcium and excitation-contraction coupling in the heart[J]. Cir Res, 2017, 121(2):181-195.
- [20] Qu YZ, Zhao YL, Li M, et al. Protective effect of astragaloside IV on blood-brain barrier and expression of occluding protein after cerebral ischemia and reperfusion [J]. Stroke and Nervous Diseases, 2010, 17 (2):292-296.
- [21] Pain T, Yang XM, Critz SD, et al. Opening of mitochondrial (ATP) channelstriggers the preconditioned state by generating firee radicals [J]. Circ Res, 2000, 87(6):460-466.